

## شیمی کالی مگنتیت و مشخصه‌های میانبارهای سیال در کانسار آهن کوهبaba، جنوب هشت‌ترود، شمال غرب ایران

مجید حافظ دربانی<sup>\*</sup>، علی عابدینی<sup>۱</sup>، فرهنگ علی‌باری<sup>۲</sup>، علی اصغر کلاگری<sup>۳</sup>

۱- گروه زمین‌شناسی، دانشکده علوم، دانشگاه ارومیه

۲- گروه مهندسی معدن، دانشگاه صنعتی ارومیه

۳- گروه علوم زمین، دانشکده علوم طبیعی، دانشگاه تبریز

(دریافت مقاله: ۹۷/۸/۲۰، نسخه نهایی: ۹۷/۱۲/۴)

**چکیده:** کانسار آهن کوهبaba در ۷۰ کیلومتری جنوب شهر هشت‌ترود، استان آذربایجان شرقی، شمال غرب ایران واقع است. این کانسار، از نظر زایشی وابسته به توده‌های نفوذی گابرویی تا دیوریتی است. گابرو-نوریت و پیروکسن هورنبلند گابرو-نوریت سنگ میزان اصلی کالی‌سازی آهن هستند. دگرسانی‌های گسترده همراه با کالی‌سازی شامل پهنه‌های اکتینولیتی، کلریتی و اپیدوتی است. کانه عمده مگنتیت همراه با مقادیر اندک آپاتیت بوده که به صورت بافت‌های توده‌ای، رگه-رگچه‌ای، جانشینی، برشی و پراکنده است. نتایج تجزیه ریزپردازش الکترونی (EPMA) برای ۲۸ نقطه از بلورهای مگنتیت نشان از مقادیر نسبتاً بالای عناصری چون Ti, Mn, Al و V دارد. مقادیر اجزایی مثل  $TiO_2$ ,  $NiO$ ,  $MgO$ ,  $V_2O_3$  در مگنتیت‌های با بافت توده‌ای بالاتر از مگنتیت‌های با بافت پراکنده و رگچه‌ای است. بررسی میانبارهای سیال اولیه در بلورهای کوارتز همزمان با کالی‌سازی با مگنتیت نشان می‌دهد که میانبارهای سیال به طور عمده از نوع دو فازی (L+V) و گاهی تک فاز گازی هستند. دمای همگن‌شدگی سیال‌های دو فازی (L+V) در گستره ۴۳۶ تا ۵۴۴ (میانگین ۵۰۵) درجه سانتی‌گراد است. بر پایه دماهای نقطه ذوب‌نهایی یخ، متوسط شوری ۱۵/۸۲ درصد وزنی معادل نمک طعام به دست آمد. با توجه به پارامترهای اندازه‌گیری شده چون دمای همگن‌شدگی، شوری، چگالی و فشار میانبارهای سیال، عمق کانه‌سازی مگنتیت در گستره ۱/۳ تا ۲/۷ (میانگین ۲/۳) کیلومتر (بر پایه فشار همه جانبی) برآورد شد. بر اساس یافته‌های EPMA و میانبارهای سیال، کانسنگ‌های آهن کوهبaba را می‌توان کانسارهای آهن نوع کایرونا و در زیر رده اکسید آهن-آپاتیت ضعیف رده‌بندی کرد و خاستگاه مگنتیت را می‌توان ماقمایی-گرمایی دما بالا در نظر گرفت.

**واژه‌های کلیدی:** شیمی کالی مگنتیت؛ میانبارهای سیال؛ کوهبaba؛ هشت‌ترود؛ ایران.

### مقدمه

نهشته‌های معدنی استفاده شوند [۱-۵]. مگنتیت می‌تواند دارای طیف گسترده‌ای از عناصر از جمله Ti, V, Ca, Mn, Al, و Mg باشد [۶]. نوع و مقدار تمرکز عناصر یاد شده در این کالی به عوامل فیزیکوشیمیایی تشکیل دهنده مگنتیت مانند دما، گریزندگی اکسیژن و گوگرد، میزان فعالیت سیلیکا ( $SiO_2$ ) و ترکیب سیال/ مذاب بستگی دارد [۶]. روند توزیع عناصر فرعی و جزئی می‌تواند در تفکیک ماقمایی و یا گرمایی

بررسی شیمی کالی‌هایی چون مگنتیت توسط ریزپردازشگر الکترونی (EPMA) از روش‌های دقیقی است که در شناسایی خاستگاه و تفسیر شرایط فیزیکوشیمیایی تشکیل کانسارها استفاده می‌شود. بررسی‌های انجام شده نشان داده است که عناصر فرعی و جزئی در مگنتیت می‌توانند به عنوان یک راهنمای اکتشافی ارزشمند در شناسایی و تعیین خاستگاه

\*نویسنده مسئول، تلفن: ۰۴۴ ۳۲۹۷۲۱۳۴، نامبر: ۰۴۴ ۳۲۷۷۶۷۰۷، پست الکترونیکی: majid.hafez@gmail.com

است که توسط توده‌های نفوذی با ترکیب مافیک تا حد واسط شامل گابرو و مونزرو‌دیوریت قطع شده‌اند (شکل ۱ ب). گندب‌آندزیتی- داسیتی کوهبaba، واحد آتشفسانی آندزیتی و نیز توده‌های نفوذی یاد شده را قطع کرده و درون این مجموعه قرار گرفته است [۱۰]. واحد آتشفسانی الیگومیوسن با ترکیب آندزیت در بخش جنوب غربی کانسار کوهبaba رخنمون دارند. آین واحد دستخوش دگرسانی‌های آرزیلی و پروپلیتی شده است.

توده‌های نفوذی شامل گابرو دیوریت، گابرونوریت، پیروکسن-هورنبلندر گابرونوریت، بیوتیت گابرو و مونزرو‌دیوریت هستند. (شکل ۱ ب). گابرو دیوریت گستردۀ ترین واحد نفوذی در منطقه کوهبaba محسوب می‌شود که دستخوش دگرسانی‌های گرمایی قرار نگرفته است و کانی‌سازی آهن در آن دیده نمی‌شود. رخنمون سطحی این واحد سنگی دارای رنگ سبز روشن تا خاکستری و ساخت توده‌ای است. بافت اصلی آن دانه‌ای است. گابرونوریت گستردۀ ترین واحد سنگی وابسته به کانی‌سازی در رخنمون‌های سطحی کانسار کوهبaba بوده و از نظر رنگ و ساخت، شبیه واحد گابرونوریت است. بافت اصلی سنگ، دانه‌ای است اما بافت‌های پوئی‌کلیتیک و ساب افتیک نیز در آن دیده می‌شوند. بخش مهمی از کانی‌سازی آهن با بافت برشی و توده‌ای در این واحد سنگی رخ داده است (شکل ۱ ب). پیروکسن-هورنبلندر گابرو نوریت از نظر گسترش و فراوانی، دومین واحد سنگی مهم وابسته به کانی‌سازی آهن در گستره کانسار کوهبaba محسوب می‌شود. این واحد سنگی در رخنمون صحرایی، خاکستری و دارای ساخت توده‌ای است. بافت دانه‌ای بافت اصلی و پوئی‌کلیتیک دیگر بافت قابل مشاهده در این واحد سنگی است. واحد سنگی بیوتیت گابرو گسترش کمی در گستره کانسار کوهبaba دارد. رخنمون سطحی این واحد به رنگ خاکستری دیده می‌شود و دارای ساخت توده‌ای است. بافت اصلی دانه‌ای است و بافت پوئی‌کلیتیک نیز در آن دیده می‌شود. مونزرو‌دیوریت بخش محدودی از سنگ‌های میزبان کانسار آهن کوهبaba را به خود اختصاص می‌دهد. این واحد سنگی دارای رخنمون سطحی خاکستری روشن و ساخت خشن و متراکم است. بافت اصلی آن دانه‌ای است و کانی‌سازی آهن با بافت‌های پراکنده و رگچه‌ای در این واحد سنگی دیده می‌شود.

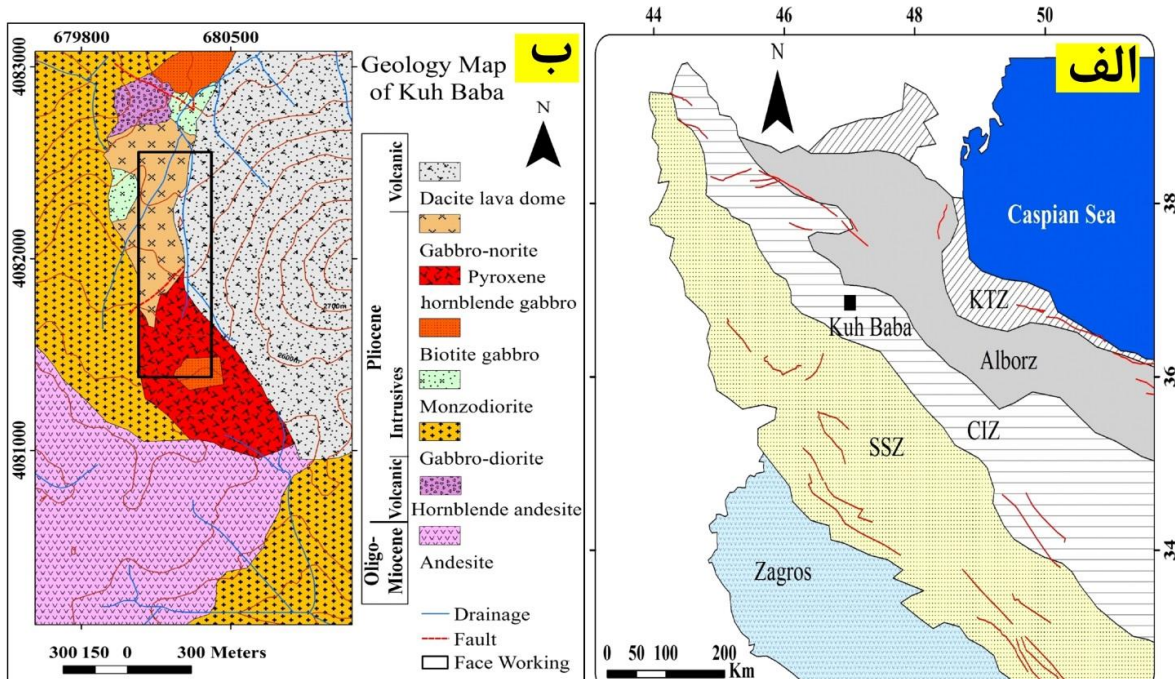
بودن خاستگاه مگنتیت در کانسارهای مختلف کمک شایانی باشد [۲].

بررسی میانبارهای سیال نیز از راههای منحصر‌فرد شناسایی مراحل تشکیل کانی‌سازی‌های فلزی به ویژه آهن محسوب می‌شود. میانبارهای سیال شواهد باقیمانده از سرگذشت تشکیل کانسنگ هنگام به تله افتادن در سنگ میزبان را در اختیار می‌گذارند و از این‌رو، امکان بازسازی شرایط فیزیکوشیمیایی تشکیل کانسنگ را فراهم می‌نمایند [۷]. سرانجام، بررسی‌های سنگنگاری و ریزدماسنجه میانبارهای سیال می‌توانند برای تعیین ویژگی‌های سیال کانه‌ساز و چگونگی تکامل کانسارها کمک باشند [۸].

ویژگی‌های زمین‌شناسی، کانی‌سازی و دگرسانی کانسار آهن کوهبaba همراه با برداشت‌های مغناطیس‌سنجی به منظور شناسایی عمق و گسترش ماده معدنی پیشتر به تفصیل بررسی شده است [۹، ۱۰]. تاکنون بررسی دقیق و جامعی پیرامون ویژگی‌های شیمی کانی و ویژگی‌های میانبارهای سیال وابسته به کانی‌سازی آهن در کوهبaba صورت نگرفته است. در این پژوهش، براساس نتایج برآمده از تجزیه کانی مگنتیت به روش ریزپردازش الکترونی همراه با بررسی میانبارهای سیال موجود در کانی کوارتز همزمان کانی‌سازی شده با مگنتیت، اطلاعات جامعی از ماهیت کانی‌سازی، نوع و چگونگی تشکیل کانسار آهن کوهبaba ارائه می‌شود.

#### زمین‌شناسی

کانسار آهن کوهبaba، به مختصات جغرافیایی  $50^{\circ} ۳۶' ۰۱''$  تا  $۱۰^{\circ} ۵۳' ۰۳''$  عرض شمالی و  $۳۶^{\circ} ۱۶' ۰۰''$  تا  $۴۷^{\circ} ۰۳' ۱۶''$  طول شرقی، در ۷۰ کیلومتری جنوب شهر هشت‌رود، استان آذربایجان شرقی واقع است. بر اساس تقسیمات پهنه‌های زمین-ساختی ایران [۱۱، ۱۲]، این کانسار بخشی از پهنه زمین-ساختی ایران مرکزی محسوب می‌شود (شکل ۱ الف). از نظر زمین‌شناسی ناحیه‌ای، منطقه مورد بررسی شامل مجموعه‌ای از سنگ‌های دگرگونی و رسوبی پرکامبرین، سنگ‌های دگرگونی پالئوزوئیک، توده‌های نفوذی و آتشفسانی الیگومیوسن، گندبهای گدازه‌ای پلیوسن و نهشته‌های جوان پلیوسن و کواترنری است [۱۳]. رخنمون‌های سنگی موجود در گستره کانسار شامل گدازه‌های آندزیتی پورفیری به سن الیگومیوسن



شکل ۱ (الف) نقشه ازمین‌ساختی شده شده پهنه‌های رسوبی- ساختاری مختلف ایران و موقعیت کانسار آهن کوهبaba در آن (برگرفته از مراجع [۱۲، ۱۱] با اندکی تغییرات). علائم اختصاری به کار رفته در این شکل عبارتند از: SSZ = پهنه ماسکوزی- دگرگونی سنتندج- سیرجان، KTZ = پهنه ساختاری خزر- تالش- زیوه و CIZ = پهنه ایران مرکزی، (ب) نقشه زمین‌شناسی کانسار آهن کوهبaba (برگرفته از مرجع [۹]). موقعیت سینه کار بر آن نشان داده شده است.

نصب شده بر میکروسکوپ زایس، در آزمایشگاه میانبارهای سیال گروه زمین‌شناسی دانشگاه فردوسی مشهد انجام شده است. دستگاه یاد شده با استفاده از ترکیبات استاندارد بین  $60^{\circ}\text{C}$  و  $190^{\circ}\text{C}$ - تنظیم شده و دقت اندازه‌گیری‌های سرمایش و گرمایش در آن حدود  $\pm 0.5^{\circ}\text{C}$  است.

#### دگرسانی گرمایی و کانی سازی آهن

جایگیری ماقمای مافیکی تا حد واسط درون سنگ‌های منطقه و ورود سیال‌های غنی از آهن به این مجموعه سبب ایجاد دگرسانی‌های متنوع شده است که عمده‌ترین آنها عبارتند از دگرسانی‌های پروپلیتی، سریسیتی، سیلیسی، سوسوریتی و آرژیلی. هر کدام از این دگرسانی‌ها به تناسب فاصله از توده اصلی گسترش یافته‌اند. مهم‌ترین دگرسانی دیده شده درون توده نفوذی و در مجاورت آن، دگرسانی اپیدوتی و اکتینولیتی است که همراه با کانی سازی آهن به شکل توده‌ای در بخش‌های مرکزی کانی سازی یافت می‌شود (شکل ۲ خ). با افزایش فاصله از توده اصلی، دگرسانی‌های کلریتی و سیلیسی نیز به همراه دگرسانی اپیدوتی دیده می‌شوند. دگرسانی کلریتی واحدهای درونگیر مانند گابرو را متاثر کرده و بیشتر همراه با کانی سازی پراکنده آهن مشاهده می‌گردد (شکل ۲ پ). سیال‌های کانی ساز بر بخش‌های بالایی سنگ‌های درونگیر حد واسط اثر گذاشته و

#### روش بررسی

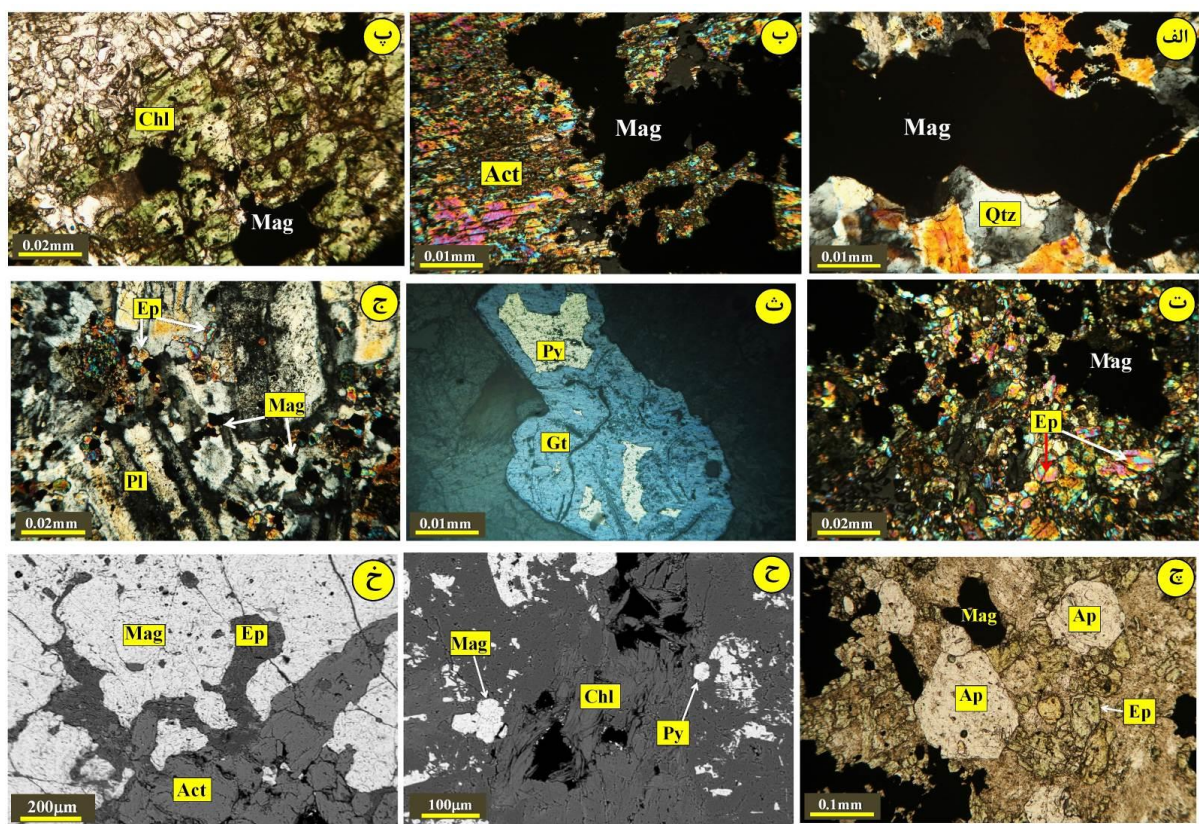
بررسی‌های کانه‌زایی و دگرسانی‌های گرمایی در کانسار آهن کوهبaba بر پایه‌ی پیمایش‌های صحرایی، تهیه نقشه زمین‌شناسی سطحی و مطالعه نمونه‌های زیرسطحی در بخش سینه کار معدن صورت گرفته است. بر این اساس، از بخش‌های مختلف دگرسانی‌های وابسته به کانی سازی آهن نمونه‌برداری شد. بررسی‌های کانی‌شناسی و کانه‌نگاری سنگ‌های دگرسان شده و کانسنگ آهن با تهیه و بررسی ۲۵ مقطع نازک- صیقلی توسط میکروسکوپ دوکاره انجام گرفت. سپس، بر اساس نتایج بدست آمده تعداد ۵ نمونه برای تجزیه به روش ریزپردازش EPMA الکترونی بر کانی مگنتیت در ۲۸ نقطه توسط دستگاه SX100 ساخت شرکت کامکای فرانسه در شرایط ولتاژ ۱۵ کیلو ولت، شدت جریان ۲۰ میلی آمپر و با قطر پرتو ۳ تا ۵ میکرون در شرکت فرآوری مواد معدنی کرج انتخاب شد.

در این پژوهش، برای بررسی میانبارهای سیال، تعداد ۵ مقطع دوبر صیقل با ضخامت ۱۰۰ تا ۲۰۰ میکرون از رگه‌های کوارتز مربوط به کانی سازی مگنتیت تهیه گردید. اندازه‌گیری‌های ریزدماسنجی بر ۴۰ عدد میانبار سیال با استفاده از دستگاه لینکام مدل THM600 با کنترل کننده گرمایی LNP (کنترل گر دما برای گرمایش) و سرد کننده نوع TP94

همراه است بطوریکه نوع (۱) از بقیه انواع رایج‌تر است. از مرکز کانی‌سازی به سمت لبه کانسار، به تدریج از میزان کانی‌سازی به شکل توده‌ای کاسته شده و بر میزان کانی‌سازی به صورت رگه‌رگچه‌ای افزوده می‌شود (شکل ۲ الف). مگنتیت‌های بخش‌های مرکزی کانی‌سازی با بافت‌های غالب توده‌ای و برشی، اغلب همراه با اکتینولیت دیده می‌شوند (شکل ۲ ب). با دور شدن از مرکز کانی‌سازی، مگنتیت به صورت توده‌ای و پراکنده به همراه دگرسانی‌های اکتینولیتی، کلریتی و اپیدوتی مشاهده می‌گردد (شکل‌های ۲ ب، پ، ت، ج، خ). همراهی رگچه‌های مگنتیتی، پیریتی و سیلیسی از دیگر ویژگی‌های مهم این کانسار محسوب می‌شود.

موجب دگرسانی سریسیتی شده‌اند. با افزایش فاصله از توده‌های نفوذی و به طرف بخش‌های سطحی، از شدت دگرسانی‌های نام برده کاسته شده و در مقابل، بخش به نسبت گسترده‌ای از رخنمون سنگ‌های منطقه دستخوش دگرسانی آرژیلی شده است. دگرسانی کربناتی شدن نیز در لبه‌های کانسار دیده می‌شود.

کانی‌سازی آهن بیشتر به صورت مگنتیت رخ داده است. براساس نتایج تجزیه‌های صورت گرفته بر مغزه‌های حفاری، تغییرات  $\text{Fe}_{\text{t}}$  در کانسنگ‌ها در بازه‌ای از ۳/۸۵ الی ۶۳/۲۵ درصد وزنی متغیر است [۱۰]. کانی‌سازی مگنتیت با تشکیل و گسترش پنج نوع بافت (۱) توده‌ای و پراکنده فضاهای خالی، (۲) جانشینی، (۳) رگه‌رگچه‌ای، (۴) برشی و (۵) دانه‌پراکنده



شکل ۲ تصاویر میکروسکوپی با نور عوری، بازتابی و الکترون‌های پس پراکنده (BSE) از کانی‌ها، کانه‌ها و بافت‌های مختلف کانسار آهن کوه‌بابا: (الف) مگنتیت رگچه‌ای به همراه دگرسانی سیلیسی. (با) دگرسانی اکتینولیتی همراه با کانی‌سازی که در بخش‌های درونی کانسار دیده می‌شود (بالا)، (پ) دگرسانی کلریتی اپیدوتی رگچه‌ای شکل همراه با کانی‌سازی پراکنده (بالا)، (ت) دگرسانی کلریتی اپیدوتی رگچه‌ای پراکنده (با) (XPL)، (ث) دگرسانی اپیدوتی و سریسیتی شده است و کانی‌سازی پراکنده مگنتیت در آن دیده می‌شود (با) (XPL)، (ج) آپاتیت‌های که در بخش‌های پیرامونی کانسار کوه‌بابا دیده می‌شود (با) (XPL)، (خ) کانه‌ای پیریت در حال تبدیل به گوتیت با (نور بازتابی)، (ز) واحد سنگی دیوریت که دستخوش دگرسانی‌های اپیدوتی و سریسیتی شده است و کانی‌سازی پراکنده مگنتیت (با) (XPL)، (پ) آپاتیت‌های همراه با کانی‌سازی پراکنده مگنتیت و دگرسانی اپیدوتی (با) (PPL)، (ح) دگرسانی کلریتی اپیدوتی (با) (PPL)، (ز) دگرسانی اپیدوتی همراه با کانی‌سازی پراکنده پیریت (با) (BSE). علامت اختصاری به کار رفته عبارتند از: کوارتز=Qtz، اپیدوت=Ep، اکتینولیت=Mg، مگنتیت=Act، پیریت=Py، گوتیت=Gt، آپاتیت=Ap، پلازیوکلارز=Pl [۱۴].

مراحل اولیه کانی‌سازی آهن است که در زمینه سنگ مشاهده می‌شود (شکل ۲ چ). بخش عمدۀ کانی‌های دگرسانی شامل اکتینولیت، اپیدوت، کلریت، کوارتز و سریسیت مربوط به مرحله نخست کانی‌سازی کانی‌سازی هستند. مگنتیت نیز در مرحله نخست کانی‌سازی شکل گرفته است که در بخش درونی کانسار به صورت بافت‌های توده‌ای و برشی دیده می‌شود. در ادامه با ورود محلول‌های کانه‌ساز به درون سنگ میزبان، مگنتیت به همراه هماتیت در دمای پایین‌تر در قالب رگه - رگچه و نیز به صورت پراکنده در زمینه سنگ درون گیر شکل گرفته است. اکتینولیت‌های پاراخاستگاه با مگنتیت، درشت بلور بوده و خود شکل هستند اما اکتینولیت‌های برآمده از دگرسانی پیروکسن دانه ریزتر و بی‌شکل هستند و در مراحل پایانی کانی‌سازی آهن تشکیل شده‌اند. پیریت نیز با فراوانی اندک طی مرحله تأخیری گرمابی و اغلب همراه با رگه‌های سیلیسی به وجود آمده است. کانی‌های هماتیت، گوتیت و کانی‌های رسی نیز مربوط به مرحله برونزاوی هستند و به ترتیب از تبدیل کانی‌های مگنتیت، پیریت و فلدسپات شکل گرفته‌اند (شکل ۳).

افزون بر موارد یاد شده، نفوذ ماقما به درون سنگ‌های منطقه باعث خردشدنی شدید و ایجاد بافت برشی در کانسنگ‌های دربردارنده مگنتیت در بخشی از گستره کانسار شده است. همچنین، با کاهش شدت کانی‌سازی و افزایش فاصله از بخش اصلی ذخیره کانسار، بافت پراکنده دیده می‌شود که حجم اندکی از کانی‌سازی مگنتیت را به خود اختصاص داده است (شکل‌های ۲ ت و ج). کانی دیگری که با حجم بسیار کمتر نسبت به مگنتیت در منطقه دیده می‌شود، پیریت است. این کانی به صورت دانه‌های دیگر و نیز به صورت رگه‌ای همراه با مگنتیت قابل مشاهده است و دگرسانی کلریتی آن را همراهی می‌کند (شکل‌های ۲ ث و ح). این کانی گاهی از لبه‌ها در حال تبدیل شدن به گوتیت است (شکل ۲ ث).

#### توالی همبری کانی‌ها و کانه‌ها

کانی‌های فلدسپار، کلینوبیروکسن و هورنبلندر در مرحله پیش از کانی‌سازی مگنتیت و در سنگ میزبان دیده می‌شوند. کانی آپاتیت نیز با فراوانی کم مربوط به مراحل پیش از کانی‌سازی تا

Minerals	Pre-mineralization	Hydrothermal stage		Weathering
		Early stage	Late stage	
Feldspar	—			
Clinopyroxene	—			
Hornblende	—			
Biotite	—	—		
Apatite	—			
Magnetite	—	—		
Pyrite	—		—	
Chalcopyrite	—		—	
Actinolite	—	—	—	
Quartz	—	—	—	
Chlorite	—	—	—	
Epidote	—	—	—	
Carbonates	—	—	—	
Sericite	—	—		
Hematite	—	—	—	
Goethite	—	—	—	
Clay minerals	—	—	—	

شکل ۳ توالی همبری کانی‌ها و کانه‌ها در کانسار آهن کوه‌با.

(تا ۰/۹۶ درصد وزنی)،  $\text{NiO}$  (تا ۰/۹۱ درصد وزنی) و  $\text{V}_2\text{O}_3$  (تا ۰/۷۲ درصد وزنی) نسبت به مگنتیت‌های لبه‌ای با بافت پراکنده و رگچه‌ای هستند. مقادیر  $\text{NiO}$  و  $\text{TiO}_2$  در مگنتیت‌های با بافت‌های پراکنده و رگچه‌ای بسیار کمتر از مگنتیت‌های با بافت توده‌ای است. مقدار  $\text{MnO}$  در هر دو نوع مگنتیت تقریباً مشابه است (شکل ۴). نمودارهای دو متغیره  $\text{Ni}/(\text{Cr}+\text{Mn})$  نسبت به  $\text{Ti}+\text{V}$  [۱۵] (شکل ۵الف) و  $(\text{Ni}+\text{Ca})/(\text{Cr}+\text{Mn})$  نسبت به  $\text{Ti}/\text{V}$  [۱۶] (شکل ۵ب) نشان می‌دهند که کانسار آهن کوهبaba را می‌توان در رده کانسارهای آهن نوع کایرونا و از نوع اکسیدآهن-آپاتیت ضعیف در نظر گرفت.

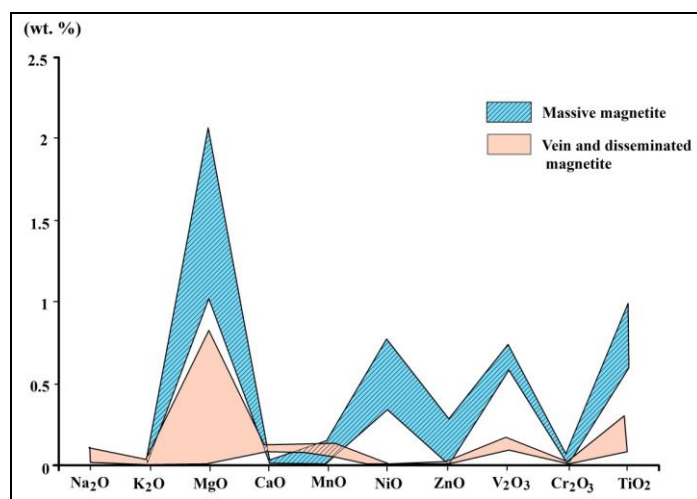
## نتایج و بحث

### بررسی‌های شیمی کانی مگنتیت

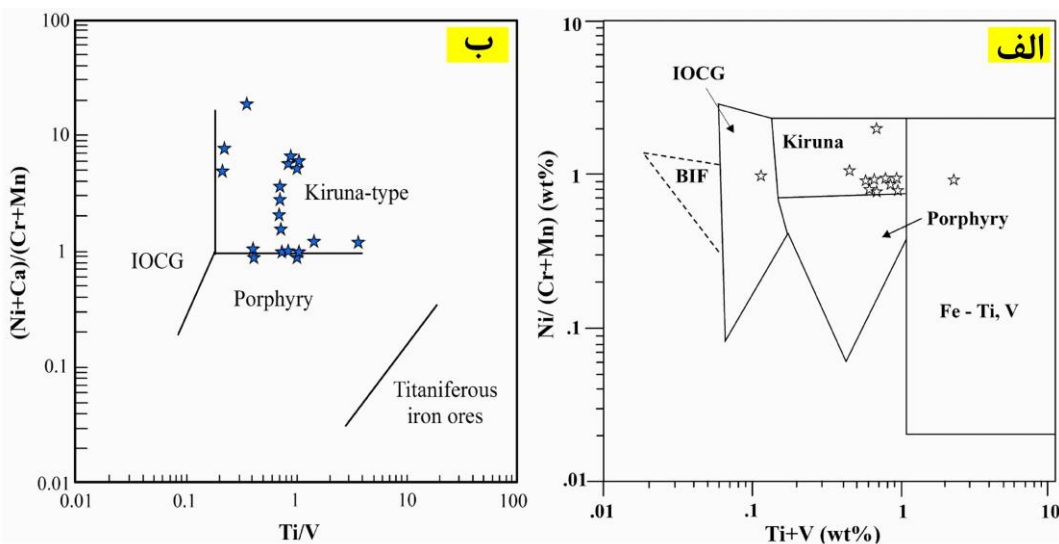
در این پژوهش ترکیب شیمی کانی مگنتیت به صورت‌های توده‌ای، رگچه‌ای و پراکنده با استفاده از تجزیه به روش ریزپردازش الکترونی (EPMA)، بررسی شده است. نتایج بدست آمده (جدول ۱، شکل ۴) نشان از حضور عنصری چون  $\text{Mn}$ ،  $\text{Mg}$ ،  $\text{V}$ ،  $\text{Al}$  در ساختار بلورهای مگنتیت کانسار کوهبaba دارند. غلظت  $\text{Fe}_{\text{Total}}$  در مگنتیت‌های مورد بررسی در گستره ۶۳/۹۴ تا ۷۰/۹۷ درصد وزنی در تغییر است. مگنتیت‌های با بافت توده‌ای که نزدیک به مرکز کانی‌سازی شکل گرفته‌اند، شامل مقادیر بالاتری از  $\text{MgO}$  (تا ۲/۰۵ درصد وزنی)،  $\text{TiO}_2$

جدول ۱ نتایج تجزیه EPMA از ۲۸ نقطه از مگنتیت‌های کانسار آهن کوهبaba (بر حسب درصد وزنی).

شماره نمونه	شماره نقطه	$\text{SiO}_2$	$\text{TiO}_2$	$\text{Al}_2\text{O}_3$	$\text{Cr}_2\text{O}_3$	$\text{V}_2\text{O}_3$	$\text{FeO}$	$\text{Fe}_2\text{O}_3$	$\text{MnO}$	$\text{MgO}$	$\text{ZnO}$	$\text{CaO}$	$\text{Na}_2\text{O}$	$\text{K}_2\text{O}$	$\text{P}_2\text{O}_5$	$\text{NiO}$	مجموع
K-111	۱	۰/۷۷	۰/۶۵	۰/۹۴	۰/۰۴	۰/۶۴	۳۰/۳۲	۶۰/۱۶	۰/۰۳	۱/۰۲	۰	۰/۰۳	۰	۰	۰	۰/۳۵	۹۴/۹۵
	۲	۰/۴۸	۰/۷۵	۱/۶۵	۰/۰۵	۰/۶۱	۳۰/۵۴	۶۰/۶۶	۰/۰۹	۲/۰۵	۰/۲۷	۰	۰	۰	۰/۰۱	۰/۷۶	۹۷/۹۲
	۳	۱/۱۲	۰/۳۴	۰/۳۱	۰/۰۲	۰/۶۸	۳۰/۹۴	۶۱/۱۵	۰/۰۴	۰/۴۷	۰/۰۷	۰/۱۱	۰	۰	۰/۰۶	۰/۹۱	۹۶/۶۳
	۷	۰/۷۳	۰/۶۹	۰/۶	۰/۰۵	۰/۶۳	۳۰/۴۰	۶۰/۳۶	۰/۰۶	۰/۷۴	۰/۰۸	۰/۱۹	۰	۰	۰/۰۵	۰/۶۴	۹۵/۲۲
	۸	۰/۸۵	۰/۵۴	۰/۴۶	۰/۰۶	۰/۶۵	۳۱/۱۶	۶۲/۰۴	۰/۰۷	۰/۶۲	۰/۰۹	۰/۱	۰/۰۸	۰	۰/۰۱	۰/۲۶	۹۶/۹۹
	۱۱	۰/۲۶	۰/۲۸	۰/۴۱	۰/۰۴	۰/۵۹	۳۱/۰۷	۶۱/۱۴	۰/۰۵	۰/۳۷	۰	۰/۰۹	۰	۰	۰	۰	۹۵/۰۰
K-100	۱۴	۰/۱۳	۰/۶	۲/۶	۰/۰۴	۰/۶۹	۳۱/۳۲	۶۲/۴۰	۰/۰۶	۱/۱۹	۰	۰/۰۱	۰	۰	۰	۰/۳۴	۹۹/۳۸
	۱۵	۰/۰۶	۰/۲	۰/۳۷	۰/۰۵	۰/۶۸	۳۲/۲۵	۶۴/۴۵	۰/۰۳	۰/۳۷	۰	۰/۰۱	۰	۰	۰	۰/۳۹	۹۸/۸۶
	۱۶	۰/۲	۰/۱۹	۰/۳۲	۰/۰۲	۰/۶۷	۳۱/۹۴	۶۲/۷۸	۰/۰۴	۰/۳۴	۰	۰/۰۶	۰	۰	۰	۰/۳۹	۹۷/۹۵
	۱۹	۰/۹۵	۰/۳۶	۰/۳۴	۰/۰۳	۰/۶۴	۳۱/۲۲	۶۲/۱۷	۰/۰۳	۰/۴۸	۰/۱۱	۰/۰۱	۰	۰/۰۲	۰	۰	۹۶/۴۶
	۲۰	۰/۰۷	۰/۹۶	۱/۹۷	۰/۰۴	۰/۷۲	۳۱/۱۲	۶۱/۹۵	۰/۱۴	۱/۷	۰	۰	۰	۰	۰	۰	۹۸/۸۷
Kh-54	۱	۰/۸۸	۰/۱۲	۰/۲۲	۰	۰/۱۵	۳۲/۲۳	۶۴/۴۲	۰/۱۸	۱/۲۲	۰/۰۸	۰/۱۴	۰/۰۱	۰/۰۲	۰	۰/۱۶	۹۹/۸۳
	۲	۰/۳۷	۰/۱۵	۰/۲۲	۰	۰/۰۹	۳۲/۲۸	۶۴/۵۳	۰/۱۸	۱/۱۵	۰	۰/۰۷	۰/۰۳	۰/۰۱	۰	۰	۹۹/۰۹
	۳	۱/۰۱	۰/۱۶	۰/۲۹	۰	۰/۱۳	۳۲/۲۵	۶۴/۴۶	۰/۱۷	۱/۴۶	۰	۰/۱۷	۰/۱۲	۰	۰	۰	۱۰۰/۲۲
	۷	۰/۶۲	۰/۱۴	۰/۲۵	۰	۰/۱۵	۳۲/۳۳	۶۴/۶۴	۰/۰۹	۰/۸۲	۰	۰/۱	۰/۰۵	۰	۰	۰	۹۹/۱۹
	۹	۱/۹۱	۰/۰۸	۰/۲۴	۰	۰/۰۹	۳۱/۳۲	۶۲/۳۹	۰/۰۵	۰/۵۴	۰	۰/۱۱	۰/۰۵	۰	۰	۰	۹۸/۷۸
K-43	۱۹	۰/۱۲	۰/۲۶	۰/۲۲	۰	۰/۱۸	۳۲/۲۸	۶۴/۵۳	۰/۰۹	۰/۰۸	۰	۰/۰۴	۰	۰	۰	۰	۹۸/۳۰
	۲۰	۰/۰۹	۰/۱۶	۰/۵	۰	۰/۱۶	۳۲/۵۲	۶۵/۰۵	۰/۰۷	۰/۰۱	۰	۰/۰۸	۰	۰/۰۱	۰	۰	۹۸/۶۵
	۲۱	۰/۴۱	۰/۳	۰/۵۴	۰	۰/۱۵	۳۱/۸۴	۶۳/۵۶	۰/۱۱	۰/۱۴	۰	۰/۱۱	۰/۰۹	۰/۰۱	۰	۰	۹۷/۲۶
	۲۶	۰/۱۳	۰/۳	۱/۳۷	۰/۰۷	۰/۵۷	۳۲/۵۲	۶۵/۰۵	۰/۰۷	۰/۰۲	۰	۰/۱۸	۰/۰۸	۰/۰۱	۰	۰	۱۰۰/۳۷
	۲۷	۰/۱۲	۰/۳۳	۰/۷	۰	۰/۱۸	۳۲/۷۵	۶۵/۵۶	۰/۱۱	۰/۰۹	۰	۰/۰۱	۰	۰	۰	۰/۱۴	۹۹/۹۹
	۲۸	۰/۱۸	۰/۴۶	۰/۹۵	۰	۰/۲۱	۳۱/۷۳	۶۳/۳۱	۰/۱۴	۰/۱۵	۰/۲۴	۰/۱۱	۰/۰۸	۰	۰	۰	۹۷/۵۶
Kh-28	۵	۰/۱۲	۰/۲۲	۱/۷۵	۰	۰/۶۱	۳۱/۱۱	۶۱/۹۳	۰	۰/۹۱	۰	۰	۰	۰	۰	۰	۹۶/۷۵
	۶	۰/۱۶	۰/۷۹	۱/۱۵	۰	۰/۶۹	۳۲/۸۹	۶۵/۸۹	۰	۱/۰۵	۰/۲۸	۰	۰	۰	۰	۰/۳	۱۰۳/۱۰
	۷	۰/۱۴	۰/۳۶	۰/۴۲	۰	۰/۶۱	۳۲/۲۱	۶۴/۳۷	۰	۰/۴	۰/۱۲	۰	۰	۰	۰	۰	۹۸/۶۳
	۱۳	۰/۷۲	۰/۴۸	۰/۶۲	۰	۰/۵۹	۳۱/۵۱	۶۲/۸۱	۰	۰/۲۲	۰	۰/۱۱	۰	۰	۰	۰/۲۱	۹۷/۲۷
	۱۴	۰/۸۲	۰/۵۴	۰/۴۹	۰/۰۷	۰/۴۷	۲۹/۸۵	۵۹/۱۳	۰	۰/۲۳	۰/۲۱	۰/۲۳	۰	۰	۰	۰/۱۵	۹۱/۹۹
	۱۵	۰/۶۳	۰/۶۷	۲/۲	۰	۰/۶۵	۳۰/۴۹	۶۰/۵۶	۰/۲۷	۰/۷۹	۰	۰/۰۸	۰/۰۸	۰	۰	۰/۲۴	۹۶/۶۶



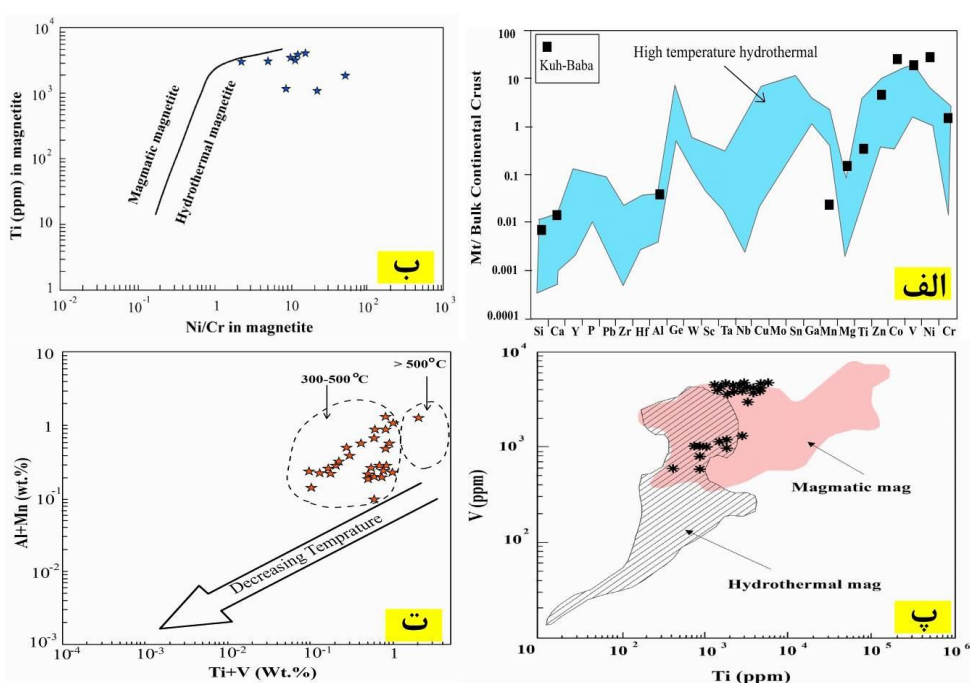
شکل ۴ مقایسه نتایج تجزیه EPMA مگنتیت‌های توده‌ای با مگنتیت‌های پراکنده و رگچه‌ای در کاسیار آهن کوهبaba.



شکل ۵ (الف) نمودار  $\text{Ni}/(\text{Cr}+\text{Mn})$  نسبت به  $\text{Ti}+\text{V}$  که مگنتیت‌های مورد بررسی از کاسیار کوهبaba را بیشتر در موقعیت ذخایر نوع کایرونا نشان می‌دهد [۱۵] و (ب) نتایج تجزیه مگنتیت‌های کاسیار آهن کوهبaba در نمودار  $(\text{Ni}+\text{Ca})/(\text{Cr}+\text{Mn})$  نسبت به  $\text{Ti}/\text{V}$  که در اینجا نیز اغلب نمونه‌ها در بخش کاسیارهای نوع کایرونا قرار گرفته‌اند [۱۶].

گرمابی قرار می‌گیرند (شکل ۶ پ). نمودار دو متغیره  $(\text{Ti}+\text{V})$  نسبت به  $(\text{Al}+\text{Mn})$  [۳] نشان می‌دهد که مگنتیت‌های کاسیار کوهبaba بیشتر در گستره دمایی ۳۰۰ تا ۵۰۰ درجه سانتی‌گراد ایجاد شده‌اند (شکل ۶ ت). از آنجا که خاستگاه کاسیارهای آهن نوع کایرونا یا IOA می‌توانند ماقمایی-گرمابی باشند [۲۰، ۲۱]، براساس نمودارهای استفاده شده (شکل‌های ۶ الف-ت) می‌توان گفت که کاسیار آهن کوهبaba بیشترین شباهت را به کاسیارهای نوع کایرونا (از نوع اکسید آهن-آپاتیت ضعیف) دارد و خاستگاه مگنتیت‌ها را می‌توان ماقمایی-گرمابی دما بالا در نظر گرفت.

مقایسه میانگین برخی عناصر فرعی و جزئی موجود در مگنتیت‌های کاسیار کوهبaba با مقدار میانگین این عناصر در مگنتیت‌های کاسیارهای گرمابی دما بالا [۲] نشان می‌دهد که الگوی توزیع عناصر در مگنتیت‌های کوهبaba بسیار شبیه با کاسیارهای گرمابی دما بالاست (شکل ۶ الف). براساس نمودار دو متغیره  $\text{Ti}$  در برابر  $\text{Ni}/\text{Cr}$  [۱۷]، مگنتیت‌های کاسیار کوه-بابا از نوع گرمابی هستند (شکل ۶ ب). رسم مقادیر  $\text{Ti}$  و  $\text{V}$  مگنتیت‌های مورد بررسی در نمودار دو متغیره  $\text{Ti}-\text{V}$  [۱۸، ۱۹] نشان می‌دهد که مگنتیت‌های کاسیار کوهبaba در گستره ماقمایی و بخشی دیگر در گستره مشترک ماقمایی و



شکل ۶ (الف) نمودار چند عنصری [۲] که در آن گستره مگنتیت‌های گرمایی دما بالا نشان داده شده و اغلب نمونه‌های مورد بررسی در این گستره قرار می‌گیرند، (ب) نمودار دو متغیره  $Ti$  نسبت به  $Ni/Cr$  [۱۷] برای تفکیک محیط‌های ماقمایی از گرمایی، (ج) نمودار دو متغیره  $V$  نسبت به  $Ti$  [۱۹] برای تفکیک مگنتیت‌های ماقمایی از گرمایی. بر اساس نتایج EPMA، مگنتیت‌های کانسار آهن کوه‌بابا در گستره ماقمایی و گستره مشترک ماقمایی-گرمایی رسم می‌شوند و (د) نمودار دو متغیره  $Al+Mn$  نسبت به  $Ti+V$  [۳] که نشان دهنده دمای تشکیل ۵۰۰ تا ۳۰۰ درجه سانتی گراد برای مگنتیت‌هاست.

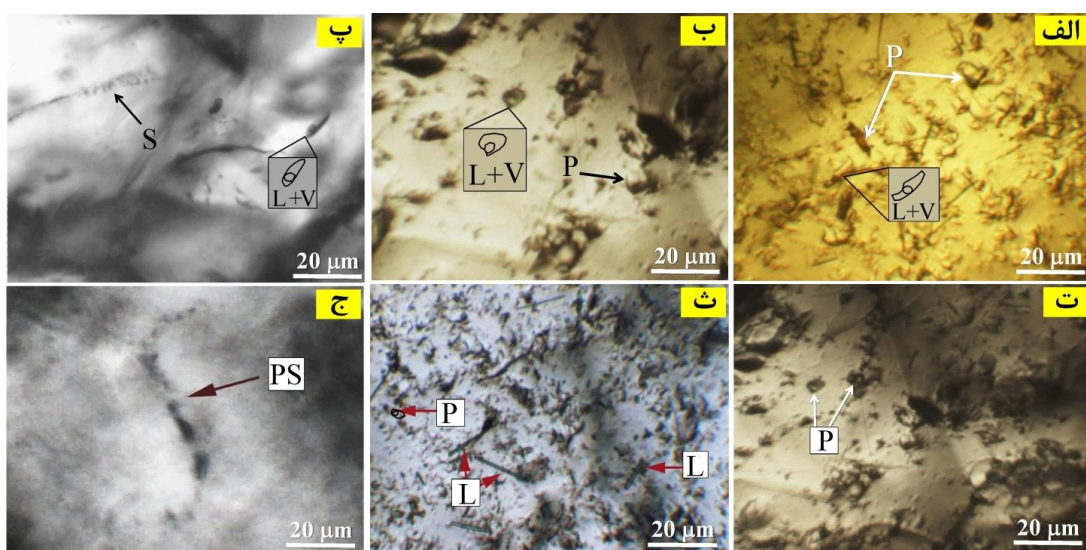
$V/L$  در آنها از ۱۰ تا ۱۵ درصد در تغییر است. ب) میانبارهای سیال تک فاز گازی ( $V$ ) و پ) میانبارهای سیال سه مایع-گاز-کانی تیره ( $L+V+S$ ): که این نوع تنها در یک نمونه دیده شد که در آن فاز نوزاد جامد از نوع اکسید آهن است. میانبارهای سیال ثانویه بیشتر در ترک‌ها و شکستگی‌های بسیار ریز که سطوح بلورهای میزبان را قطع نموده اند گسترش یافته‌اند (شکل ۷ پ)، در حالی که میانبارهای ثانویه کاذب در ترک‌های بسیار ریزی که فقط درون بلورهای میزبان محصور شده‌اند قابل تشخیص هستند (شکل ۷ چ). همه میانبارهای سیال دوفازی به فاز مایع همگن شده‌اند. بررسی‌های ریزدماسنجی و تعیین مقدار شوری میانبارهای سیال همه بر این نوع سیال‌ها انجام گرفته است (جدول ۲) و (شکل‌های ۲ الف تا ۳).

جدول ۲ داده‌های ریزدماسنجی میانبارهای سیال اولیه از کانسار آهن کوه‌بابا.

شماره نمونه	فازها	$T_h$ (°C)	$T_{Fm}$ (°C)	$T_m$ ice (°C)	شوری (wt % NaCl eqv.)	چگالی (gr/cm³)
18A (1-8)	$L+V$	۴۳۶-۵۴۴	(-۵۴) تا (-۵۴/۷)	(-۱۴/۷) تا (-۱۲/۸)	۱۷/۶۱-۱۸/۲۸	۰.۵۴۷-۰.۷۲۷
18B (1-8)	$L+V$	۵۲۵-۵۳۹	(-۵۳/۷) تا (-۵۳)	(-۱۵/۳) تا (-۱۵/۸)	۱۸/۸۸-۱۹/۳۱	۰.۵۷۶-۰.۶۰۵
18C (1-8)	$L+V$	۴۸۳-۵۰۸	(-۵۳/۱) تا (-۵۳/۷)	(-۱۰/۷) تا (-۱۰)	۱۳/۹۴-۱۴/۶۷	۰.۵۳۹-۰.۵۸۷
18D (1-8)	$L+V$	۵۰۲-۵۱۶	(-۵۳/۷) تا (-۵۳)	(-۱۱/۹) تا (-۱۱)	۱۵/۰۷-۱۵/۹۷	۰.۵۴۱-۰.۵۶۹
18E (1-8)	$L+V$	۴۷۳-۴۹۰	(-۵۳/۷) تا (-۵۳/۱)	(-۸/۹) تا (-۷/۹)	۱۱/۵۸-۱۲/۷۳	۰.۵۲۸-۰.۵۵۳

#### بررسی میانبارهای سیال

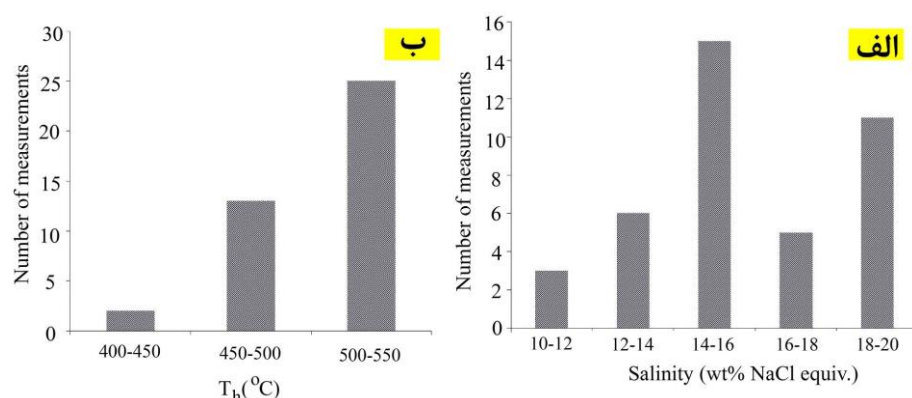
**نتایج سنگنگاری:** بررسی‌های ریزدماسنجی میانبارهای سیال در کانسار آهن کوه‌بابا بر کانی کوارتز همزمان کانی‌سازی شده با مگنتیت صورت گرفت. از نظر ظاهری، میانبارهای سیال مورد بررسی به شکل‌های گرد، مثلثی و میله‌ای دیده می‌شوند و اندازه‌های متغیر از ۳ تا ۱۴ میکرون دارند (شکل ۷). از نظر زمانی، در بلورهای کوارتز سه نوع میانبار سیال اولیه (P)، ثانویه (S) و ثانویه کاذب (PS) تشخیص داده شدند. بر اساس محتوای فازی موجود [۸]، سه نوع میانبار سیال اولیه در نمونه‌های برداشت شده قابل تشخیص هستند که عبارتند از: (الف) دو فازی مایع-گاز غنی از مایع ( $L+V$ ): که این نوع میانبارها نسبت به بقیه انواع فراوانی بیشتری دارند و به فاز مایع همگن می‌شوند و فاز مایع آنها نسبت به فاز حباب غالب است. نسبت



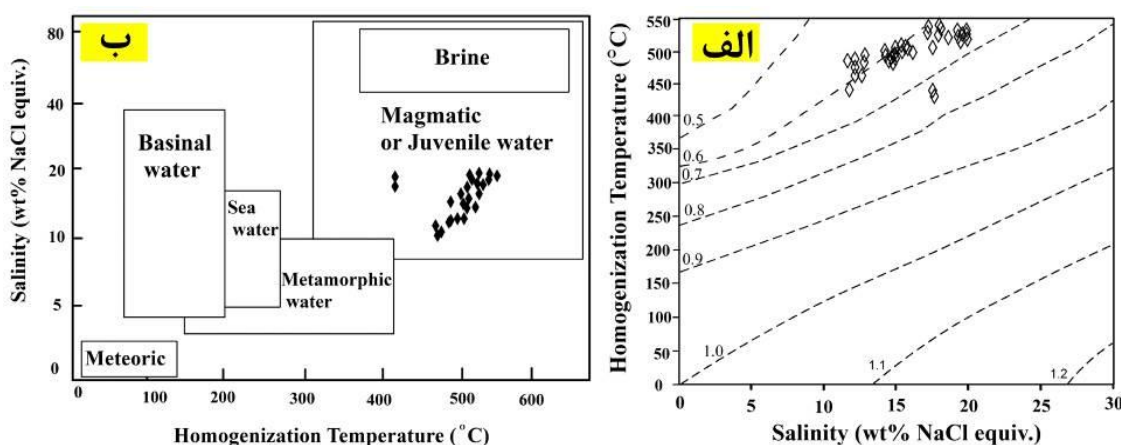
شکل ۷ انواع میانبارهای سیال دیده شده در کانی کوارتز کانسار آهن کوهبaba: (الف) میانبارهای سیال اولیه دو فازی ( $L+V$ ) و تک فازی گازی (V)، (ب) میانبارهای سیال دو فازی ( $L+V$ )، (پ) میانبارهای سیال دو فازی و میانبارهای سیال ثانویه که در نمونه‌های مورد بررسی مورد دیده می‌شوند، (ت) میانبارهای سیال دو فازی کوچکتر از ۵ میکرون، (ث) میانبارهای سیال تک فازی (L) که به شکل میله‌ای دیده می‌شوند؛ (ج) میانبار سیال ثانویه کاذب که به شکل S مانند دیده می‌شود.

زیاد آب‌های ماقمایی (Juvenile water) بوده است. با وجود مشاهده چند میانبار سیال تک فاز گازی، یافته‌های ریزدانستجی دیگر و یا شواهد ساختی، بافتی، و کانی‌شناسی که نشانگر فرآیند جوشش باشند در کانسنگ‌های مورد بررسی دیده نشدند. با توجه به این امر، باید در نظر گرفت که سیال‌های کانه‌دار در هنگام نهشت کانسنگ‌ها فشار همه جانبه را تجربه می‌کرده‌اند. با توجه به چگالی به دست آمده و اعمال آن در نمودار چگالی سیال نسبت به دمای همگن‌شدنگی و هم‌چنین با در نظر گرفتن مقادیر شوری، می‌توان کمترین فشار سیال را به دست آورد [۲۵]. از آنجا که دماهای همگن‌شدنگی برای میانبارهای سیال مورد بررسی از ۴۳۶ تا ۵۴۴ (میانگین ۵۰۵ درجه سانتی‌گراد تغییر می‌کنند، فشارهای محاسبه شده در گستره ۳۴۰ تا ۶۸۰ (میانگین ۵۸۰) بار متغیر هستند (شکل ۱۰ الف). با توجه به فشارهای همه جانبه به دست آمده و بر پایه فشار سیال کانه‌ساز نسبت به دمای همگن‌شدنگی همگن شدنگی در میانبارهای سیال کانی‌سازی در گستره ۱/۳ تا ۲/۷ (میانگین ۲/۳ کیلومتر از سطح زمین برآورده شدند (شکل ۱۰ ب). سازوکار اصلی کانی‌سازی که باعث تغییر در شرایط سیال کانه‌دار و ناپایداری کمپلکس‌های آهن‌دار شده را می‌توان از نمودار دو متغیره شوری نسبت به دمای همگن شدنگی (شکل ۱۱) بدست آورد. با توجه به روند تکاملی سیال کانه‌دار در این نمودار، کاهش دما و احتمالاً دخالت آب‌های جوی با شوری بسیار پایین عامل کانی‌سازی در کانسار آهن کوهبaba بوده است.

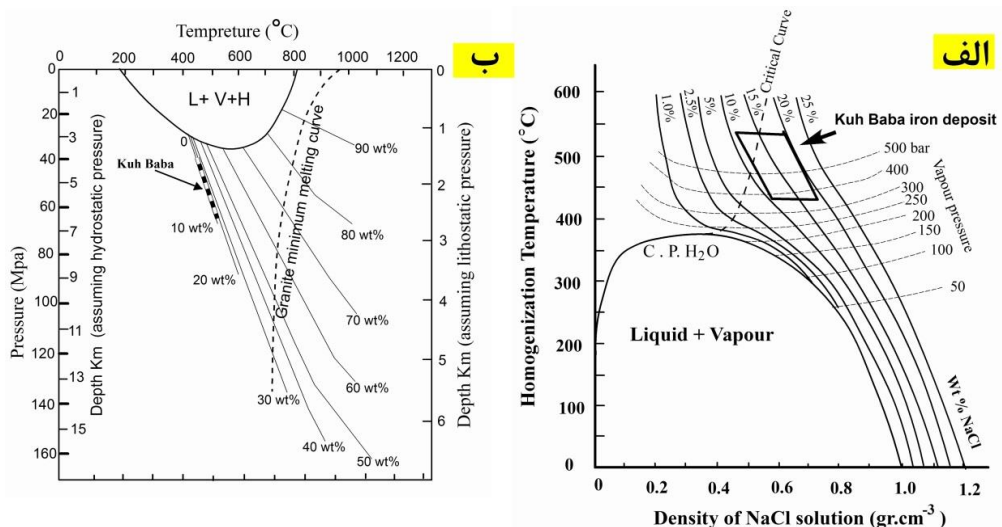
نتایج ریزدانستجی: برای تعیین شوری، از شیوه عمل سرمایش یعنی منجمد کردن سریع و سپس گرم کردن آهسته میانبارهای سیال، استفاده شد. طی این عمل ابتدا دمای نخستین نقطه ذوب (نقطه همگدازی،  $T_{Fm}$ ) و سپس دمای ذوب نهایی یخ ( $T_m$ ) به دست آمدند. از آنجا که مقادیر  $T_m$  به دست آمده در گستره ۵۳-۵۴-تا ۵۴-درجه سانتی‌گراد هستند، می‌توان نتیجه گرفت که سیال‌های کانه‌ساز بدون شک افزون بر  $\text{CaCl}_2$  مقداری  $\text{NaCl}$  داشته‌اند. مقادیر  $T_m$  بدست آمده در گستره ۱۵/۸-تا ۷/۹-درجه سانتی‌گراد هستند (جدول ۲) که با توجه به معادله بودنار [۲۲] اشاره به شوری‌هایی در گستره ۱۱/۵۸ الى ۱۹/۳۱ درصد وزنی معادل نمک طعام دارند. بیشترین فراوانی شوری مربوط به گستره ۱۴ تا ۱۶ درصد وزنی معادل نمک طعام است (شکل ۸ الف). برای تعیین دماهای همگن شدنگی، با توجه به پژوهش گلدشتاین و رینولدز [۲۳]، نمونه‌ها تا ۵۵۰ درجه سانتی‌گراد گرم شدند. همه سیال‌های مورد بررسی طی گرمایش به فاز مایع همگن شدند. دمای همگن شدنگی برای میانبارهای سیال مورد بررسی از ۴۳۶ تا ۵۴۴ درجه سانتی‌گراد متغیر بوده (جدول ۲) و بیشترین فراوانی دمای همگن شدنگی مربوط به گستره دمایی ۵۰۰ تا ۵۵۰ درجه سانتی‌گراد است (جدول ۲ و شکل ۸ ب). بر اساس شکل ۹ الف، چگالی میانبارهای سیال دوفازی غنی از مایع از ۰/۵۷ تا ۰/۷۵ گرم بر سانتی‌متر مکعب تغییر می‌کند. با توجه به شکل ۹ ب [۲۴]، عامل تشکیل رگه‌های سیلیسی-مگنتیتی که بررسی میانبارهای سیال بر آنها صورت گرفته است، به احتمال



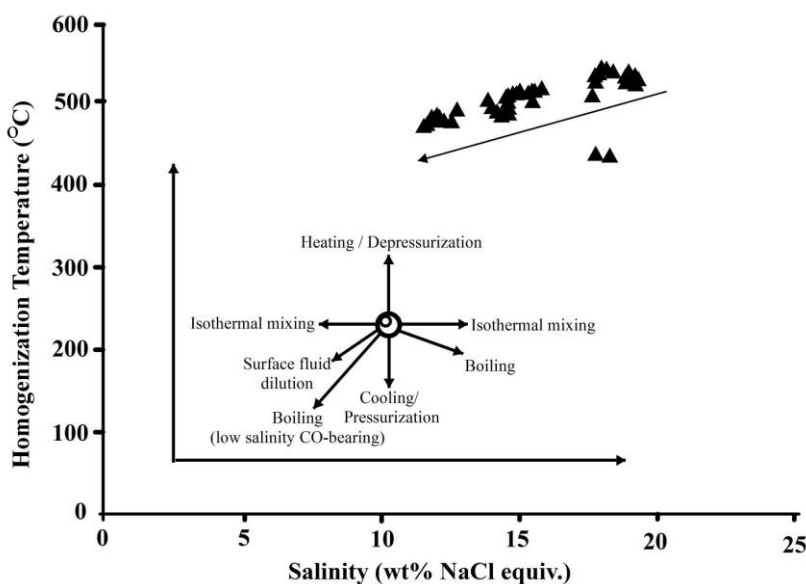
شکل ۸ (الف) نمودار دمای همگن شدنگی مربوط به میانبارهای سیال در کانی سازی آهن کانسار کوهبaba با بیشترین فراوانی دمایی در گستره ۵۰۰ تا ۵۵۰ درجه سانتی‌گراد و (ب) نمودار شوری میانبارهای سیال بر حسب درصد وزنی با بیشترین فراوانی در گستره ۱۶ تا ۱۸ درصد وزنی معادل نمک طعام.



شکل ۹ (الف) روند تغییرات چگالی، شوری و دمای همگن شدنگی سیال‌های گرمایی با فرایندهای واپسی به کانسار آهن کوهبaba [۷] و (ب) نمودار دمای همگن شدنگی نسبت به شوری برای تعیین خاستگاه سیال کانه ساز در کانسار آهن کوهبaba [۲۴]. بر این اساس، آبهای ماقمایی خاستگاه سیال‌های کانه ساز آهن در این کانسار بوده‌اند.



شکل ۱۰ (الف) نمودار دما-چگالی با اعمال شوری برای تعیین مقدار فشار سیال که بین ۳۶۰ تا بیش از ۵۰۰ بار است [۲۵] و (ب) نمودار فشار نسبت به دمای همگن شدنگی میانبارهای سیال برای محاسبه عمق کانی سازی [۲۶] (مایع = L، گاز = V، نمک طعام = H<sub>2</sub>O). خطوط پریندی ممتد درصد وزنی نمک طعام حل شده پایدار در بخش مایع سیال درگیر را نشان می‌دهند.



شکل ۱۱ روندهای مختلف تکامل سیال در نمودار دمای همگن‌شدنی شوری [۷]. بر اساس این نمودار، عامل اصلی کانی سازی آهن در کانسار کوه‌با به احتمال زیاد کاهش دما و ترکیب شدن با آب‌های جوی بوده است.

۵- بررسی میانبارهای سیال نشان می‌دهد که کانسار آهن کوه-بابا از آب‌های ماقمایی ناشی شده و کاهش دما و آمیختگی با آب‌های جوی عامل اصلی کانی سازی آهن در آن بوده است.

#### قدرتانی

نگارندگان مقاله از حمایت‌های مالی معاونت پژوهشی و تحصیلات تکمیلی دانشگاه ارومیه، سازمان توسعه و نوسازی معادن و صنایع معدنی ایران (ایمیدرو) و شرکت سنگ آهن کوه‌با برخوردار بوده‌اند، که بدین‌وسیله نهایت سپاس و قدردانی خود را از مسؤولین مربوطه اعلام می‌دارند. نگارندگان همچنین از نظرات و پیشنهادات سازنده داوران محترم مجله سپاسگزاری می‌نمایند.

#### مراجع

- [1] Dare S. A. S., Barnes S. J., Beaudoin G., "Variation in trace element content of magnetite crystallized from a fractionating sulfide liquid, Sudbury, Canada: Implications for provenance discrimination", *Geochimica et Cosmochimica Acta* 88 (2012) 27-50.
- [2] Dare S. A. S., Barnes S. J., Beaudoin G., Méric J., Boutroy E., Potvin-Doucet C., "Trace elements in magnetite as petrogenetic indicators", *Mineralium Deposita* 49 (2014) 785-796.
- [3] Nadoll P., Angerer T., Mauk J. L., French D., Walshe J., "The chemistry of hydrothermal magnetite: A review", *Ore Geology Reviews* 61 (2014) 1-32.

#### برداشت

مهمنترین نتایج این پژوهش عبارتند از:

۱- مگنتیت‌های شکل گرفته در بخش‌های مرکزی کانسار کوه-بابا دارای بافت توده‌ای و مقادیر نسبتاً بالاتری از  $\text{MgO}$ ,  $\text{TiO}_2$ ,  $\text{NiO}$  و  $\text{V}_2\text{O}_3$  نسبت به مگنتیت‌های بخش‌های پیرامونی کانسار هستند که بافت‌های پراکنده و رگچه‌ای از خود نشان می‌دهند.

۲- بر اساس نمودارهای دو متغیره  $\text{Ni}/\text{Cr}-\text{Ti}$  و  $\text{V}-\text{Hem}$ - $\text{Ti}$  چنین نمودار توزیع عنصر فرعی و جزئی در کانی مگنتیت، خاستگاه مگنتیت‌های کانسار آهن کوه‌با ماقمایی تا گرمابی دما بالا ارزیابی شده است. همچنین، با توجه به نمودارهای تفکیکی استفاده شده، کانسار آهن کوه‌با را می‌توان در رده کانسارهای آهن کایرونات نوع اکسید آهن-آپاتیت ضعیف در نظر گرفت.

۳- بیشتر میانبارهای سیال مورد بررسی در کانی کوارتز موجود در کانسنگ‌های آهن کوه‌با از نوع دوفازی غنی از مایع هستند و دمای همگن شدنی آنها از ۴۳۶ تا ۵۴۴ درجه سانتی‌گراد و شوری آنها از ۱۹/۳۱ تا ۱۱/۵۸ درصد وزنی معادل نمک طعام در تغییر است.

۴- بر پایه محاسبه چگالی و فشار میانبارهای سیال، عمق کانی سازی آهن در کانسار آهن کوه‌با در گستره ۱/۳ تا ۲/۷ کیلومتر (میانگین ۲/۳ کیلومتر) برآورد شد.

- to mineral exploration, in Andrew, C.J. ed., Digging Deeper", Proceedings of the Ninth Biennial SGA Meeting, Dublin 1 (2007) 497-500.*
- [17] Dare S. A. S., Barnes S., Beaudoin G., "Did the massive magnetite "lava flows" of El Laco (Chile) form by magmatic or hydrothermal processes? New constraints from magnetite composition by LA-ICP-MS", *Mineral Deposita* 50 (2014) 607-617.
- [18] Nadoll P., Mauk J. L., Leveille R. A., Koenig A. E., "Geochemistry of magnetite from porphyry Cu and skarn deposits in the southwestern United States", 50 (2015) 493-515.
- [19] Knipping J. L., Bilenker L. D., Simon A. C., Reich M., Barra F., Deditius A. P., Wölle M., Heinrich C. A., Holtz F., Munizaga R., "Trace elements in magnetite from massive iron oxide-apatite deposits indicate a combined formation by igneous and magmatic-hydrothermal processes", *Geochimica et Cosmochimica Acta* 171 (2015) 15-38.
- [20] Barton M. D., Johnson D. A., "Evaporitic-source model for igneous-related Fe oxide-(REE-Cu-Au-U) mineralization", *Geology* 24 (1996) 259-262.
- [21] Rhodes A. L., Oreskes N., Sheets S., "Geology and rare earth element geochemistry of magnetite deposits at El Laco, Chile: in Skinner, B.J. ed., Geology and ore deposits of the Central Andes", Society of Economic Geologists, Special Publication 7 (1999) 299-332.
- [22] Bodnar R. J., "Revised equation and table for determining the freezing point depression for H<sub>2</sub>O-NaCl solutions", *Geochimica et Cosmochimica Acta* 57 (1993) 683-684.
- [23] Goldstein R. H., Reynolds T. J., "Systematics of fluid inclusions in diagenetic minerals", SEPM Short Course 31. Society for sedimentary geology, United States of America (1994) 213 pp.
- [24] Kesler S. E., "Ore-forming fluids", *Elements* 1 (2005) 13-18.
- [25] Fisher J. R., "The volumetric properties of H<sub>2</sub>O-A graphical portrayal. J. Res.", US Geol. Surv. 4 (1976) 93-189.
- [26] Fournier R. O., "Hydrothermal processes related to movement of fluid from plastic into brittle rock in the magmatic-epithermal environment", *Economic Geology* 94 (1999) 1193-1212.
- [4] Chung D., Zhou M. F., Gao J. F., Chen W. T., "In-situ LA-ICP-MS trace elemental analyses of magnetite: The late Palaeoproterozoic Sokoman iron Formation in the Labrador Trough, Canada", *Ore Geology Reviews* 65 (2015) 917-928.
- [5] Liu P. P., Zhou M. F., Chen W. T., Gao J. F., Huang X. W., "In-situ LA-ICP-MS trace elemental analyses of magnetite: Fe-Ti-(V) oxide-bearing mafic-ultramafic layered intrusions of the Emeishan large igneous province, SW China", *Ore Geology Reviews* 65 (2015) 853-871.
- [6] Nadoll P., Mauk J. L., Hayes T. S., Koenig A. E., Box S. E., "Geochemistry of magnetite from hydrothermal ore deposits and host rocks of the Mesoproterozoic Belt Supergroup, United States", *Economic Geology* 107 (2012) 1275-1292.
- [7] Wilkinson J. J., "Fluid inclusions in hydrothermal ore deposits", *Lithos* 55 (2001) 229-272.
- [8] Roedder E., "Fluid inclusions", *Mineral Soc Am Rev* 12 (1984) 644 pp.
- [9] Maghfouri S., Movahed Nia M., Hosseinzadeh M., "Geology, mineralization, ore texture, paragenetic sequence of the Kuh-Baba IOA type iron deposit, South of Ghareh-Aghaj, Northwest of Iran", The 34<sup>th</sup> national and 2<sup>nd</sup> international Geosciences congress, Iran (2015).
- [10] Pichab Kansar Company., "Exploration report of Kuh Baba iron ore deposit", Ministry of industry, Mine and Trade, Iran (2012).
- [11] Alavi M., "Sedimentary and structural characteristics of the Paleo-Tethys remnants in northeastern Iran", *Geological Society of America Bulletin* 103 (1991) 983-992.
- [12] Aghanabati A., "Major sedimentary and structural units of Iran (map)", *Geosciences* 7 (1998) 29-30.
- [13] Babakhani A. R., Ghalamghash J., "1:100000 Geological map of Takht-E-Soleyman", Geological survey of Iran (1996).
- [14] Kretz, R., "Symbols for rock-forming minerals", *American Mineralogist* 68 (1983) 277-279.
- [15] Dupuis C., Beaudoin G., "Discriminant diagrams for iron oxide trace element fingerprinting of mineral deposit types", *Mineralium Deposita* 46 (2011) 319-335.
- [16] Beaudoin G., Dupuis C., Gosselin P., Jebrak M., "Mineral chemistry of iron oxides: application